



図-2に $\delta$ に対する $\bar{\sigma}$ のプロットが得られ、(1), (2), (3)式より $\tau/\sigma_N \sim \delta \sim E_N$ の関係と算定できる。この結果を図-3に示す。なお計算には $\lambda=1.5$ , アルミ棒どうしの実測した摩擦係数から $\mu=0.35$ を採用し(ただし $\delta=0$ のときは $\mu=0$ とした)、 $\bar{\sigma}_p$ は図-2のオ4プロットから $\bar{\sigma}_p=10.1^\circ$ ,  $\bar{\sigma}_c$ はオ2とオ3プロットの延長線の縦軸との交点から $-\bar{\sigma}_c \approx -7^\circ$ とした。この試験機ではせん断応力の測定がごまかいので図-3の $\tau/\sigma_N$ と比較することはごまかいが、写真から読み取った垂直ひびきの最終値は $\epsilon_N = -2.0\%$ となり図-3の $E_N$ の最終値とよい対応を示している。次に、この図-3の応力-ひびき曲線が生じる物理的意味を考えると、せん断が進むにつれて $\sigma$ の分布が右の方(ひの正の領域)へ寄ってくるが、右へ寄ると抵抗しやうい角度になるため $\tau/\sigma_N$ は増加する。それと図-1(4)に示す $\sigma$ の分布が最も右寄りになると、おはめら $\sigma$ が最大の時ピーク強度となり、やがて粗子の乗りエガリにより $\sigma$ が小さくなるにつれて残留強度に近づくと解釈される。

さて、アルミ棒の粗状モデルはどうしても密詰めになるが、図-3は密詰め砂や過圧密粘土(過圧密比大)の応力-ひびき-ダイラタンシー曲線の形とよく類似している。ここでは過圧密粘土をその拘束応力のもとでの正規圧密粘土と比較して密詰めの状態と考え、密詰め砂と同様のせん断のメカニズムを想定している。このとき粘土粒子がいくつか集合した団粒(aggregate)を、1個の砂粒に対応するせん断時の行動単位と考えた。一方、非常にゆる詰めの砂や正規圧密粘土は極めてゆるい構造であるため、せん断をうけると直ちに負の接点角をもつようになり $\sigma$ の分布は左の方へ寄ると考えられる。やがてせん断ひびきが増すにつれて $\sigma$ の分布は右の方へ向かい、それにもよって $\tau/\sigma_N$ も増加するが、そのままひびきが大きくなって破壊すると考えられる。このため単調増加型の応力-ひびき特性を示すものと解釈できる。以上のよう考察を進展させて土の応力-ひびき-ダイラタンシー関係式を誘導し、各種の実測データをよく説明するこを検証している<sup>2)</sup>が、詳細は講演時に発表する。また下記の文献を参照されたい。

**謝辞** 御指導を賜った村山朝即教授に深謝の意を表します。また粒子接点角の測定を手伝った京大研修員(現・院生)北村良介氏に感謝します。

**文献** 1)村山・松岡: 砂と粘土のせん断特性の類似性とそのメカニズムについて, 京大防災研年報才14号B, 1971, 4.  
2)松岡: せん断時の土の応力-ひびき関係について, 京大防災研年報才15号B, 1972, 4.

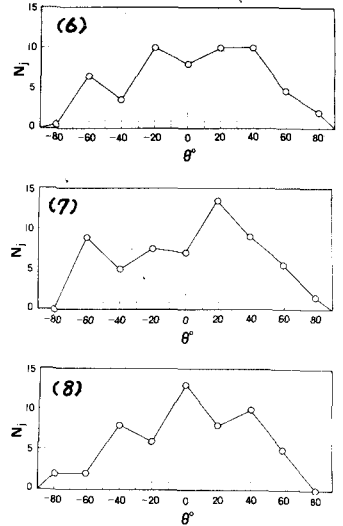


図-1 せん断による $\sigma$ の度数分布の変化: (1)→(8)

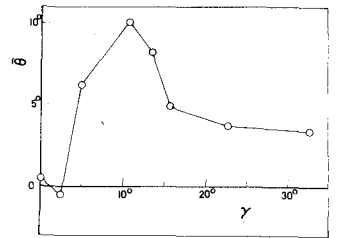


図-2  $\bar{\sigma} \sim \delta$  関係

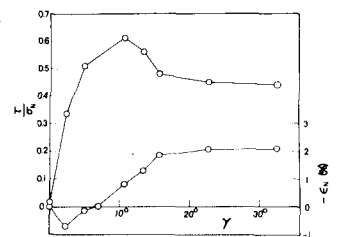


図-3  $\tau/\sigma_N \sim \delta \sim \epsilon_N$  関係